

بناء نموذج شبكة عصبية للتحقق من صحة الرمية الحرة لدى لاعبي كرة السلة

***د/أيمان عبد العزيز عبدالحميد**

المقدمة :

تعتبر رياضة كرة السلة من أشهر الرياضات في العصر الحديث. حيث تحلل المركز الثاني كأكبر قاعدة جماهيرية بعد رياضة كرة القدم، ومما لا شك فيه أن هذا أدى إلى تنافس العديد من الفرق والمنتخبات للفوز بالصدارة والتميز، وقد ذاع سمع بعض الفرق حول العالم مثل (لوس انجلوس ليكرز، بوسطن سلتكس، اورلاندو ماجيك وغيرها الكثير).

ويعتمد الفوز في هذه الرياضة على عوامل كثيرة منها قدرة اللاعبين ومستواهم الفني والعمل الجماعي والمتغيرات النفسية والفيسيولوجية، كل هذه العوامل تساهم وبشكل اساسي علي في زيادة فرص الفوز لفرق المتنافسة. ومن ضمن المهارات الاساسية التي تشتمل عليها كرة السلة، الرمية الحرة. يتم تنفيذ الرمية الرمية الحرة تبعا لقواعد الاتحاد الدولي لكرة السلة. وتعتبر الرميات الحرة من اهم عوامل الفوز في رياضة كرة السلة. (٣-١)

وقد أظهرت احصائيات الاتحاد الدولي لكرة السلة (٢٠١٥) انه خلال المباراة الواحدة يوجد ٤٠ رمية حرة تقريبا وتحصل الفرق على ما يقارب من ١١-٩ نقطة من الرميات المتاحة. كما اظهرت الاحصائية ان متوسط الرميات الصحيحة للاعبين المحترفين ٧٥٪ مع وجود بعض مشاهير الرياضة الذين حصلوا على معدل اقل من ذلك بكثير ف علي سبيل المثال (Andre Drummond, Shaquille O'Neal DeAndre Jordan) على نسبة رميات صحيحة لا تتعدى ال ٥٥٪ خلال مسيرته. (٦-٤)

*أستاذ مساعد بقسم التدريب الرياضي وعلوم الحركة- كلية التربية الرياضية- جامعة أسيوط

ومن هذه المعدلات تظهر اهمية الرميات الحرة في تحديد الفائز وكونها عامل اساسي.

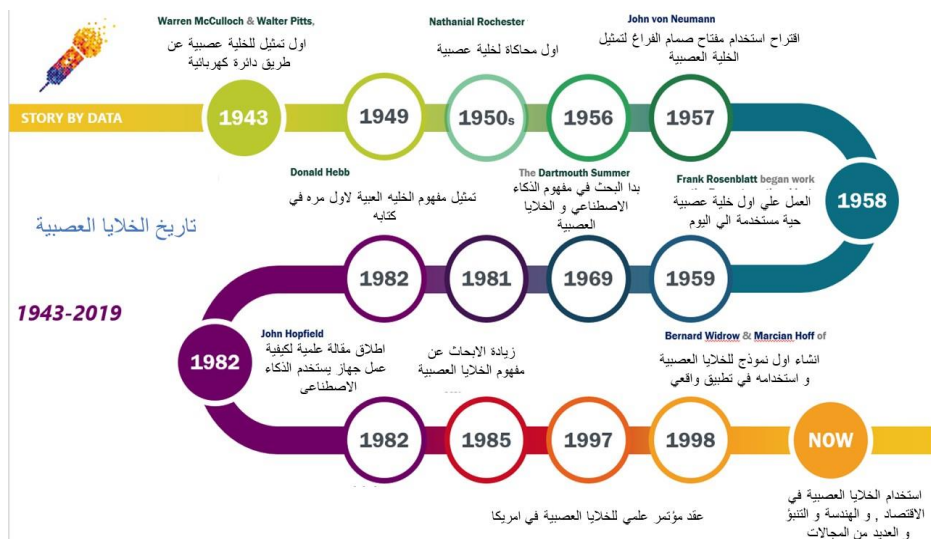
وقد قامت الابحاث الاخيرة بالدراسة لفهم العوامل المؤثرة على صحة تنفيذ الرمية الحرة وزيادة احتمال التسجيل. وقد حصر كلا من بربوزيتوف بريزيدونك (٢٠١٨) باول لينك (٢٠١٥)، ايرينا بركينا (٢٠١٧) هذه العوامل مع عمل النموذج الرياضي. وقد اوضحوا انه يمكن حصر هذه العوامل في ثلاثة عوامل اساسية وهي: طول اللاعب، سرعة اطلاق الكرة وزاوية الاطلاق. وقد تم أيضا دراسة تأثير الرياح علي الرميات وكان مقدار التغير الذي تسببه الرياح مقارنة بإهمال تأثيرها لا يتعدى ال ٥٪، وقد استند كلا من الباحثين الثلاثة علي المنهج التطبيقي في اثبات نتائجهم وفرضياتهم. حيث كانت اهم تلك النتائج تدور في القيم المثلثي لهذه العوامل الثلاثة. وقد اوضحت النتائج الآتي:

- ١- أن اللاعبين اصحاب القمامات الاطول يحصلون علي احتمال اكبر للتسجيل من قصار القامة.
- ٢- كلما زادت زاوية الاطلاق زاد نطاق سرعة الاطلاق الصحيحة اي أنه يكون للاعب سماحية اكبر في تغيير سرعة الاطلاق.
- ٣- تتحصر اكبر سماحية في زاوية الانطلاق بين اكبر سرعة اطلاق ممكنة وأقل سرعة تسمع بالتسجيل. (٧-١٢)

وفي ظل السعي الي تطوير هذه النتائج كان لابد من الاعتماد علي التطور التكنولوجي. ولفهم ودراسة آليات ذات فاعلية اكبر سيتم الاعتماد علي الآلة وذلك باستخدام شبكة عصبية (neural network) والذكاء الاصطناعي لمعرفة الرميات الصحيحة من الرميات الخاطئة اثناء تنفيذ الرمية الحرة. تعد الشبكات العصبية من افضل الطرق في عمليات التعلم والتباين بالمتغيرات والوضعيات الصحيحة. وقد قام كلا من العالم وارن

ماكولتش ووالتر بيتس بوضع اول نموذج للخلية العصبية وتمثيله في دائرة كهربائية عام ١٩٤٣. وفي عام ١٩٥٦ تم وضع اول نموذج خلية عصبية من خلال الحاسب الالي واستخدامها في تطبيقات واقعية ومن ذلك الحين وقد تعظم استخدام محاكاة الشبكات العصبية بالاستخدام الحاسب الالي في جميع المجالات، وقد ظهر من ذلك الحين مفهوم تعلم الآلة (machine learning) والتعلم العميق (Deep learning). وتعد اهم مميزات الذكاء الاصطناعي في القدرة علي التعامل مع قدر هائل من البيانات والمتغيرات والحصول علي نتائج ذات دقة عالية وفي فترة زمنية قصيرة مقارنة بالطرق الحسابية. وقد برز استخدام الذكاء الاصطناعي في مجالات عدّة منها علوم الطقس والطيران والعلوم الهندسية وعلوم التحليل والاحصاء. ويوضح الشكل ١ مراحل تطور الشبكات العصبية (٢١-١٣).

شكل (١)



الفكرة الأساسية لإجراء البحث

هدف البحث:

يهدف البحث الى بناء نموذج خلية عصبية قادر على تحديد الرميات الصحيحة من الرميات الخاطئة لتحسين اداء اللاعبين.

تساؤلات البحث:

- **التساؤل الأول:** كيف يمكن بناء ذكاء اصطناعي لتحليل رمية كرة السلة.
- **التساؤل الثاني:** هل يمكن الاعتماد على الالة في عملية التدريب وتحسين الاداء.

منهج البحث:

يستخدم الباحث المنهج التجاري في التحقق من نتائج البحث عن طريق تجربة النتائج على مجموعة من لاعبين كرة السلة في المملكة العربية السعودية.

مجالات البحث:

المجال البشري:

تم اختيار عينة من لاعبين كرة سلة بالطريقة العميقة في اختيار لاعبين على قدرة بالتحكم بالمتغيرات.

المجال الزماني:

تم التصوير يوم (الاحد) الموافق ٢٠١٨/٧/٥ في تمام الساعة الثانية ظهراً، بمعمل التحليل الحركي بكلية علوم الرياضة والنشاط البدني، جامعة الملك سعود

المجال الجغرافي:

تم التصوير داخل معمل التحليل الحركي بكلية علوم الرياضة والنشاط البدني، جامعة الملك سعود وتم التحليل بمعمل التحليل الحركي بكلية التربية الرياضية جامعة أسيوط.

المجتمع وعينة البحث:

مجتمع البحث:

يتمثل مجتمع البحث في لاعبين كرة السلة المحترفين بمدينة الرياض.

عينة البحث:

تم اختيار عينة البحث بالطريقة العمدية وتتمثل في اللاعبين الذين لديهم معدلات تسجيل مختلفة في الرميات الحرة لتحسين الأداء وبلغ عددهم ١٠ لاعبين من لاعبي نادي الهلال السعودي في الموسم ٢٠١٨/٢٠١٩.

جدول (١)
توصيف عينة البحث

السن	الكتلة كيلو جرام	طول الذراع	الطول	م
23	87	88 سم	194	١
22	85	87 سم	190	٢
23	87	87 سم	190	٣
23	90	87 سم	189	٤
21	83	85 سم	185	٥
22	86	85 سم	185	٦
21	80	83 سم	182	٧
23	85	82 سم	182	٨
22	83	82 سم	182	٩
20	80	80 سم	179	١٠

يتضح من جدول (١) البيانات الأساسية (الطول، طول الذراع، الكتلة، السن وأكبر سرعة اطلاق ممكنة) للعينة التحليلية التي قامت بأداء المهارة قيد البحث (بالطرف الأيسر).

العينة التحليلية:

تم أداء ٣ محاولات صحيحة لرمية حرة لكرة السلة، وقد تم تسجيل كل المحاولات اللاعبين وإدخال البيانات على محاكاة خلية عصبية لتحديد النتائج.

أدوات جمع البيانات.

- MATLAB برنامج لمحاكاة الخلية العصبية.

- ميزان طبي لقياس الوزن بالكيلو جرام.

- رستاميتر لقياس الطول (بالسنتيمتر).

التحليل الرياضي للرمية الحرة:

يتم تنفيذ الرمية الحرة حسب القواعد الدولية للاحتجاد كرة السلة. حيث يقوم اللاعب من على بعد القانوني بتنفيذ الرمية. يعتمد المسار الحركي للرمية على عدة عوامل منها طول اللاعب وبعد اللاعب عن الهدف وزاوية وسرعة انطلاق الكرة. كل هذه العوامل يجب اخذها في عين الاعتبار للحصول على مسار الرمية. الشكل (٢) يوضح رمية حرة حيث يبعد اللاعب مسافة D عن مركز السلة وارتفاع H عن الارض. كما انه تم تسجيل مسار الكرة باستخدام كاميرا وتم وضع مكان الكرة عند كل فريم تصوير.

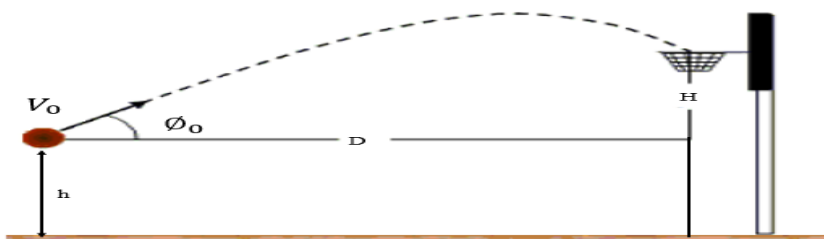


شكل (٢)

وتخضع حركة كرة السلة لقانون المقدوفات والتي تخضع لقانون نيوتن الاول والثاني. حيث تأخذ الرمية شكل قطع مكافئ متماثل في حالة اهمال تأثير الرياح وهذا الفرض مقبول كون تأثير الرياح يوثر بقيمة لا تتعدى ال ٥% فقط.

للقiam بالتحليل واستنتاج المسار الحركي للرمية. بفرض انه تم اطلاق رمية حرة على المرة بسرعة وزاوية ابتدائية θ_0, V_0 على الترتيب من على بعد D عن السلة وارتفاع h وبهدف ان تعبر السلة الموجودة على ارتفاع H. كما هو موضح بالشكل (٣).

شكل (٣)



تحليل مركبة السرعة في اتجاه كلا من المحور السيني الافقى (X) والصادى الرأسى (Y) و باخذ تاثير عجلة الجاذبية على المحور الرأسى، يمكن استنتاج معادلة السرعة عن اي لحظة زمنية بالمعادلتين (١) و (٢)

(١)

$$V_x = V_0 \cos \theta_0$$

(٢)

$$V_y = V_0 \sin \theta_0 - gt$$

وباستخدام عملية التكامل يمكن ايجاد المسافة الافقية (X) والرأسية (Y) عند اي لحظة زمنية. وتمثل في المعادلة (٣) و (٤).

(٣)

$$x = V_0 t \cos \theta_0$$

(٤)

$$y = h + V_0 t \sin \theta_0 - \frac{gt^2}{2}$$

ومفهوم مسار الحركة هو استدلال معلومية تواجد الكرة عند كل لحظة زمنية. ويمكن من خلال المعادلة ٣ و ٤ ايجاد معادلة مسار الحركة

وذلك عن طريق حذف الزمن في كلا من المعادلين بالتعويض. وتوضح المعادلة (٥) مسار الحركة لرمية كرة السلة:

$$y = x \tan(\theta_0) + h - x^2 \frac{g}{2V_0^2 (\cos \theta_0)^2} \quad (5)$$

- من أجل التأكد من قيام اللاعب من تسجيل يجب ان تتحقق شرطين اساسيين
- الاول ان تكون الكرة علي ارتفاع (H) اي في مستوى السلة.
 - الثاني ان تكون علي بعد D من مكان الاطلاق.

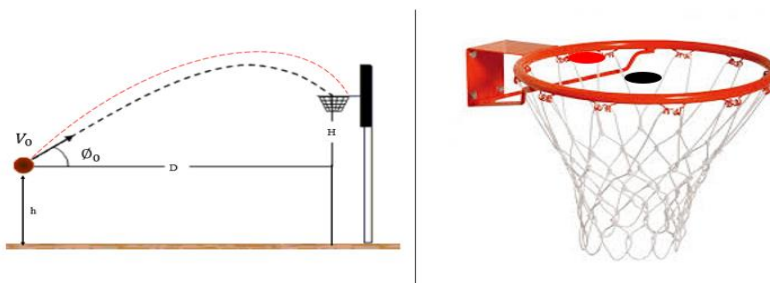
بالنسبة للشرط الاول فهو شرط اساسي ولكن الشرط الثاني يوجد سماحية في تواجد الكرة علي المحور الافقى وذلك لكون محيط السلة اكبر من محيط كرة السلة. لو قمنا بوضع الشرط الاول في المعادلة وذلك عن طريق تغير المستوى الرأسى Y وجعله يساوى H وفصل السرعة في طرف منفرد من المعادلة سنحصل علي المعادلة رقم (٦)

$$V_0 = \frac{x}{\cos \theta_0} \sqrt{\frac{\left(\frac{g}{2}\right)}{x \tan(\theta_0) + h - H}} \quad (6)$$

المعادلة (٦) توضح قيمة السرعة المطلوبة عند اي زاوية اطلاق والتي تضمن عند مسافة X وجود الكرة علي ارتفاع السلة المطلوب وهذه المعادلة تضمن حدوث الشرط الاول.

لتوضيح السماحية في الشرط الثاني في الشكل (٣) يوجد رميتين واحدة باللون الاسود والاخرى باللون الاحمر. وعلى اليمين يوجد اماكن تسجيل كل رمية في السلة. لو قام اللاعب في الرمية الموضحة باللون الاسود بإصابة منتصف السلة، فان اللاعب باللون الاحمر لو قام بزيادة زاوية الانطلاق فان الكرة سوف تقترب اكثر من مؤخرة السلة ولكن ستضل رمية

تحقق نقطة لأن الكرة ما زالت في السلة وذلك لكون قطر السلة أكبر من قطر الكرة. وأيضاً لو فرضنا كون الزاوية هيا التي لم تتغير فان زيادة سرعة الانطلاق يؤدي إلى نفس النتيجة. وفي حالة النقصان سوف تقترب الكرة من مقدمة السلة على خلاف الحالة الأولى. ومن هنا يتضح انه لا توجد على وحيدة لتحقيق رمية صحيحة وإنما يوجد نطاق لسرعة وزاوية الانطلاق التي تضمن حصول اللاعب على نقطة من خلال الرمية الحرة.



شكل (٤)

ولتحديد ذلك النطاق يجب تحديد اقل نقطة افقية و اكبر نقطة افقية تسمح للاعب بالتسجيل. ان كان منتصف السلة هوه النقطة (D,H) وبفرض ان نصف قطر السلة R ونص قطر الكرة هوه r فان اقرب نقطة للتسجيل عندما يتلامس محيط الكرة مع الطرف الامامي للسلة من الداخل وفي هذه الحالة تكون المسافة الافقية $X=D-R+r$ وهذه اقرب نقطة تسجيل ممكن للاعب. وتعد ابعد نقطة تسجيل عندما يتلامس محيط الكرة مع الطرف الخلفي للسلة من الداخل و يكون البعد الافقى في هذه الحالة $X=D+R-r$.

ولتعريف منحنى السرعة القصوى بأنه مجموعة السرعات الي تجعل الرمية تلامس ابعد نقطة تسجيل ممكنة عند زوايا انطلاق مختلفة فإنه يمكن استدلاله معادلة السرعة القصوى من خلال التعويض في المعادلة (٦) بالاحداثي الافقى لابعد نقطة ممكنة. وعلى الطرف الآخر يعرف منحنى السرعة الصغرى بأنه مجموعة السرعات التي تجعل الرمية تلامس اقرب

نقطة تسجيل ممكنة ويمكن الاستدلال على منحنى السرعة الصغرى بالتعويض في المعادلة (٦) بالاحداثي الافقى لاقرب نقطة ممكنة. وتمثل المعادلة (٧) و(٨) منحنى السرعة القصوى والصغرى.

(٧)

$$V_{\max} = \frac{d+R-r}{\cos\theta_0} \sqrt{\frac{\left(\frac{g}{2}\right)}{(D+R-r)\tan(\theta_0)+h-H}} \quad (8)$$

$$V_{\min} = \frac{d+R-r}{\cos\theta_0} \sqrt{\frac{\left(\frac{g}{2}\right)}{(D-R+r)\tan(\theta_0)+h-H}}$$

ولفهم معنى كلا من المعادلة (٧) و(٨) فلنفرض ان لاعب يقف على الابعد الموضحة في الشكل (٣) وقام بإلقاء الكرة بزاوية الموضحة، فانه لن يستطيع التسجيل الا اذا كانت سرعة اطلاق الكرة اكبر من السرعة الصغرى الموضحة في العلاقة (٨) واقل من السرعة القصوى الموضحة في العلاقة (٧). وهذا ما سوف تقوم الشبكة العصبية بتعلمها لتحديد ما اذا كانت الرمية صحيحة ام خاطئة.

بناء محاكاة الشبكة العصبية باستخدام الحاسوب الالي:

ت تكون الخلية العصبية من وحدات اساسية تسمى العصبون (neuron) وهي الوحدة الاساسية للخلايا العصبية. ويكون العصبون الواحد من ثلاثة اجزاء اساسية: المستقبلات التي تربط الدخل و التي تمثل في العوامل المدروسة والمفعول ومركز العمليات والخرج الذي يعتمد على كلا من الدخل ومركز العمليات والمفعول. يكون كل دخل مصاحب بوزن (W) والذي يحدد اهمية هذا العامل، فان كان الدخل الاول يحمل وزن اكبر من الدخل الثاني فذلك يعني انه اذا اهمية اكبر في اتخاذ القرار في العصبون اكثرا من الدخل الثاني. ويكون مركز المعالجة (f) من دالة حسابية غالبا ما تكون دالة

سيجموид (sigmoid) والتي تحدد نوع القرار. ويوضح الشكل العصيون والدالة المستخدمة في مركز العمليات على الجانب اليمن.



الشكل (٤)

الخرج Y عن طريق

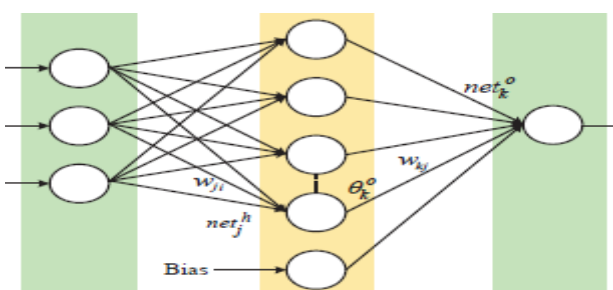
$$Y = \frac{1}{1+e^{-(w_1x_1+w_2x_2+\dots+b)}} \quad (٩)$$

ويمكن تحديد قيمة

المعادلة رقم (٩)

(٩)

وت تكون الخلية العصبية من طبقات من العصبون الموازية وتم تحديد عدد الطبقات وعدد العصبون في كل طبقة بطريقة التجربة حيث انه لا توجد طريقة فعالة في ايجاد العدد الامثل لكل تطبيق حيث يختلف من تطبيق لأخر. ويوضع الشكل (٤) شبكة عصبية امامية والتي تتكون من طبقة دخل وطبقة خرج ومجموعة طبقات بين طبقة الدخل والخرج تسمى الطبقات الخفية. كما هو موضح.



شكل (٥)

ولجعل الخلية قادرة على الحكم على صحة الرمية فإنه تم تعليم الخلية العصبية كلا من السرعة القصوى والسرعة الصغرى المسموح بها ومقارنتها بسرعة اطلاق اللاعب للكرة ومن ثم تقوم الخلية العصبية بتحديد مدى صحة الرمية. ولبناء الخلية العصبية فقد تم بناء ثلاثة طبقات كل طبقة تحتوي على ٢٠ عصبون وتكون عملية التعلم في إيجاد أفضل قيمة أوزان ومفعول لكل عصبون. ويتم حساب مقدار الخطأ في التعلم وزيادة عدد العصبون في كل مرة تعلم وذلك للوصول لأفضل شكل.

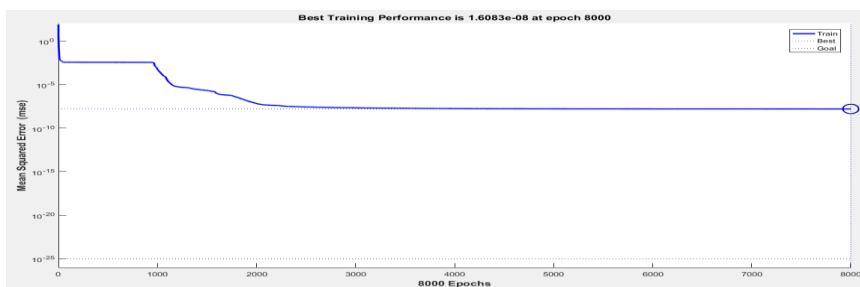
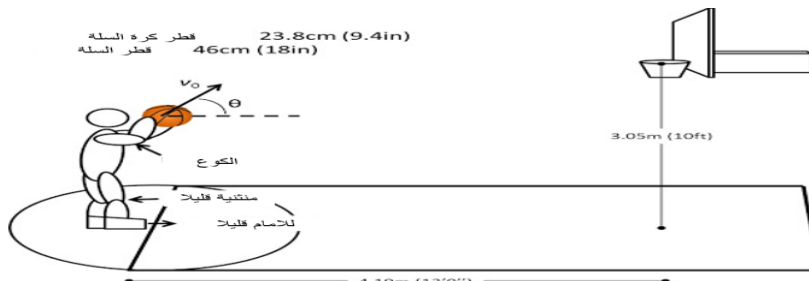
تعليم الشبكة العصبية:

لتعليم الشبكة العصبية لابد من معرفة حدود التعليم حتى يمكن جمع البيانات بالقدر الأمثل. حيث أن زيادة البيانات عن القدر المطلوب قد يؤدي إلى سوء النتائج وليس إلا نتائج أفضل. ولذلك تم إدخال المعلومات للشبكة العصبية في نطاق محدد من المتغيرات حيث أن المسافة D والارتفاع H ونصف قطر السلة R ونصف قطر الكرة r هيا قيم تم تحديدها وثابتة من قبل الاتحاد الدولي لكرة السلة كما هو موضح في الشكل (٦).

والمعامل الذي يتغير دائما هو طول اللاعب. و لتحديد نطاق التعلم في طول اللاعب فإنه تم الأخذ بعين الاعتبار متوسط طول اللاعبين عن طريق الاتحاد الدولي لكرة السلة وهو ١٧٦ سم وأكبر طول كان ٢٠١٠ متر. وقد تم عملية التعليم بخطوة مقدارها ٥ سم من ال ١٧٦ إلى ٢١٠ سم.

وبالإضافة فإن لكل طول زاوية اطلاق صغرى وقصوى والتي لا يمكن ان يقل اللاعب عنها في التعلم. وذلك يتضح من المعادلة ٧ او ٨ حيث ان قيمة الزاوية المسموح بها هي التي تجعل الجذر في المعادلة قيمة سالبة والذي ينتج عنه عدد غير حقيقي ولا يمكن ان يضمن مستوى التعلم لهذه القيم. وقد تم تعليم الشبكة العصبية في مستوى زاوية من ٣٦ الى ٨٠ درجة وقد تم اختيار هذا المستوى كونه يحتوي على سرعات واقعية للرميات.

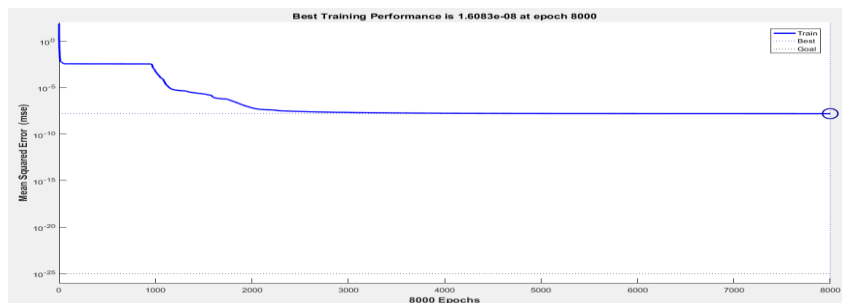
و عند كل طول لاعب تم تقسيم المنحنى الى الف نقطه حتى يتم التدخل كنقط
تعلم لشبكة التعلم.



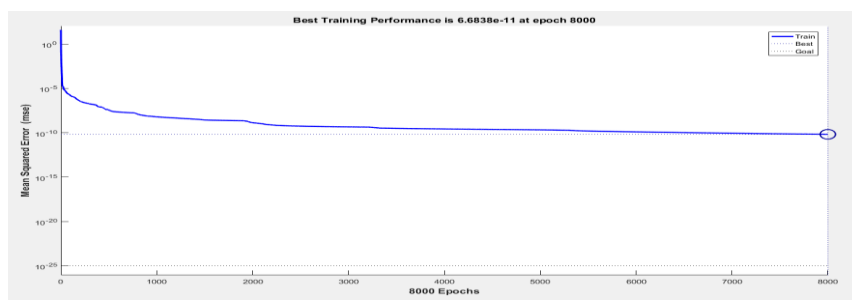
شكل (٦)

النتائج:

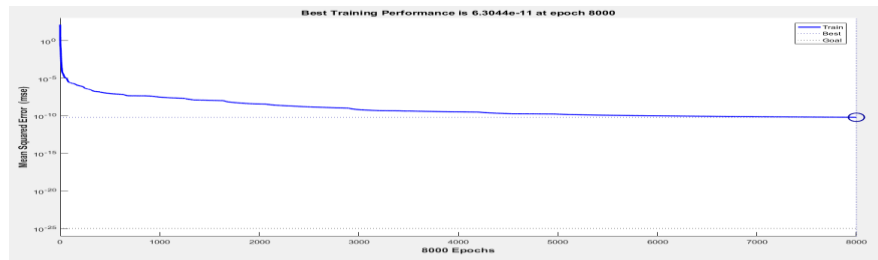
وقد تم تعلم الشبكة العصبية حيث كانت كمعلمات الدخل هي طول اللاعب وزاوية وسرعة الاطلاق وكانت الخرج المقارنة بين سرعة الاطلاق والحدود المثلثي للتسجيل. يوضح شكل (٦ a b c d) نتائج التعلم في كل من خلية عصبية ذات ثلاث طبقات تحتوي كل طبقة على ٢٠, ٤٠, ٦٠, ٨٠ عصبون في كل خلية. وقد تم استخدام طريقة التنااسب العكسي (back propagation) وذلك لغرض تعلم الشبكة العصبية. وقد تم بناء الشبكة العصبية على برنامج ماتلاب.



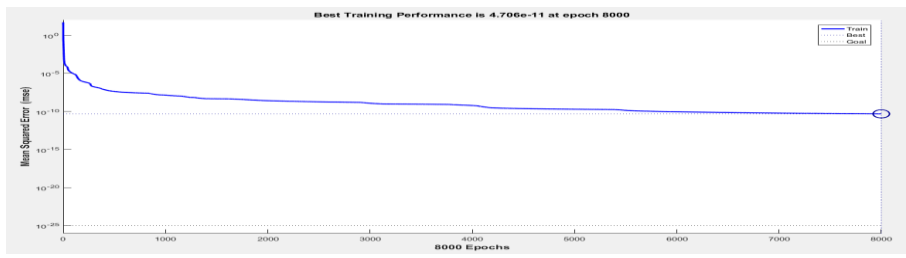
(6a 20 neurons)



(6b 40 neurons)



(6c 60 neurons)



(6d 80 neurons)

ويتضح من الشكل (٧) ان استخدام ٨٠ عصبون يعطي اقل قيمة للخطأ. وكان مقدار الخطأ في التعلم صغير جدا حيث كان ٠.٧٧٪ في الالف في تعلم السرعة القصوى و ٤٠.٨١٪ في الالف في استنتاج السرعة الصغرى وهذا الخطأ صغير جدا ويمكن اهماله.

التطبيق:

للقيام بالتطبيق على النتائج قام مجموعة مكونة من عشر لاعبين كرة سلة بتنفيذ ثلاث رميات حرة حسب القواعد الدولية. وقد تم تسجيل كل رمية للاعبين باستخدام كاميرا ١٢٠ فريم/ثانية وذلك لايجاد سرعة وزاوية اطلاق الكرة. وقد تم قياس طول كل لاعب وادخال سرعة وزاوية الانطلاق بالإضافة الى طول اللاعب الى الشبكة العصبية وجعل الشبكة تحدد اذا ما كانت الرمية صحيحة او خاطئة. وقد تم معايرة الكاميرا حيث تم حساب مستوى الطول والعرض للرؤبة في الكاميرا بالمتر ومعرفة ما يمثله كل وحدة بكسل من المستوى الكلي وحساب عدد البكسل لمعرفة موقع الكرة عند كل فريم. ولتحديد سرعة وزاوية الانطلاق فانه تم حساب الموضع (X) للكرة عند الفريم الاول بعد الانطلاق و الموضع (Y) كذلك. وبمعرفة موقع الانطلاق في الفريم الذي يسبقه، كان حساب السرعة الافقية والراسية يمكن باستخدام قانون السرعة. حيث تكون السرعة الافقية هي مقدار الازاحة الافقية مقسومة على زمن الفريم الواحد والذي يساوي ١/١٢٠ ثانية. والسرعة الرأسية تساوي مقدار الازاحة الراسية على نفس الزمن. وباستخدام هذه الطريقة يمكن حساب السرعة الانطلاق حيث انها تساوي المجموع الاتجاهي للمركبة الافقية والراسية. وتمثل كلا من العلاقة (١٠) و (١١) علاقة المركبات الافقية بسرعة الانطلاق و زاوية الانطلاق.

$$V_0 = \sqrt{v_x^2 + v_y^2} \quad (10)$$

$$\theta_0 = \tan^{-1} \left(\frac{v_y}{v_x} \right) \quad (11)$$

ويوضح الجدول ٢ بيانات محاولات كل لاعب وبالاضافة الى حالة التسجيل والارتفاع الذي قام كل لاعب منه برمي الكرة لادخال هذه البيانات الى الشبكة العصبية لمعرفة قدرة الشبكة العصبية على تحديد الحالات الصحيحة من الحالات الخاطئة ل كل لاعب.

اللاعب رقم	طول اللاعب	جدول (٣)					
		الرمية ١		الرمية ٢		الرمية ٣	
-	-	السرعة	الزاوية	السرعة	الزاوية	السرعة	الزاوية
-	-						
١	194	6.5	45	7.77	53	8.3	40
٢	190	8.35	38.96	8.17	41.5	7.75	47.38
٣	190	8.398	38	7.5	42.85	7.3	46.77
٤	189	8.15	39.43	7.7	47	8	47.25
٥	185	6.9	41.29	7.5	43.97	7.6	56.24
٦	185	7.57	52.8	7.7	52.9	7.4	54
٧	182	6.6	45.6	7.5	43.12	8.5	40
٨	182	7.75	57.6	7.3	47	7.62	46.8
٩	182	8.2	62	7.7	58.6	7.5	60.6
١٠	179	6.8	46.64	7.65	46.9	7.1	45
-	-	نتيجة الرمية العصبية الواقعية	نتيجة الشبكة العصبية الواقعية	نتيجة الرمية العصبية الواقعية	نتيجة الشبكة العصبية الواقعية	نتيجة الرمية العصبية الواقعية	نتيجة الشبكة العصبية الواقعية
١	194	X	X	✓	✓	✓	X
٢	190	✓	✓	X	✓	✓	✓
٣	190	✓	✓	X	X	X	X
٤	189	X	X	X	✓	X	X
٥	185	X	X	X	X	X	X
٦	185	✓	✓	✓	✓	X	✓
٧	182	X	X	X	X	✓	✓
٨	182	✓	✓	X	X	✓	✓
٩	182	✓	X	✓	✓	X	X
١٠	179	X	X	✓	✓	✓	✓

ويوضح جدول ٢ النتائج باللون الاخضر والتي استطاعت الشبكة العصبية التنبأ بها بصورة صحيحة. بينما اللون الاحمر التي فشلت الخلية العصبية بالتنبأ بها. و توضح من الجدول ٢ ان الشبكة العصبية فشلت في رمتين

فقط من اصل ٣٠ رمية ب نسبة صحة ٩٣.٣%. ويعود هذا الخطأ الى عددة عوامل ابرزها :

- اللاعب الاول طوله ١٧٥ وهذا الطول خارج نطاق التعلم الذي تم تدريب عليه الشبكة العصبية مما ادى الي تواجد هذا الخطأ. ويزيد مقدار الخطأ في نتائج الشبكة العصبية كلما كانت المتغيرات ابعد بكثير عن مقدار التعلم.
- الخطأ الحسابي. وهذا الخطأ نتيجة العمليات الحسابية في جهاز الحاسب.
- المعايرة الدقيقة للكاميرا تساعده في الحصول على بيانات ادق وقد يكون أحد مصادر الخطأ.
- تعريف عجلة الجاذبية بشكل دقيق حيث ان اي تغير بسيط في مدار عجلة الجاذبية يؤدي الي تغير كبير في كلا من السرعة القصوى والصغرى التي تم تعليمها للخلية العصبية. لذلك يجب حساب عجلة الجاذبية بدقة قبل بناء الشبكة العصبية.
- إهمال تأثير الرياح قد يساعد في زيادة الخطأ.

الأستنتاجات:

من النتائج في الفقرة السابقة ممكن استنتاج:

- انه يمكن للشبكات العصبية تحديد رمية كرة السلة الصحيحة بدقة عالية تصل الي ٩٣%.
- كلما زاد نطاق التعلم المدخل للشبكة العصبية كلما كانت قادرة علي تحديد حالات اكثر.
- اللاعبين الذين يستطيعون اطلاق الكرات بسرعة تتراوح من ٨-٧٠.٣ يكون لديهم احتمالية التسجيل لديهم اكبر.

((المراجع))

أولاً: المراجع باللغة العربية:

١- عبد الرحمن عبد الكريم علي: استخدام الشبكات العصبية للتتبؤ من نموذج الاقتصاد الكلي "جامعة البصرة مجلة الاقتصاد الخليجي العدد ٢٤ سنة ٢٠١٣".

ثانياً: المراجع باللغة الأجنبية:

- 2- **Analysis**,:www.inpredictable.com/2015/05/introducing-sharc-shot-arc-analysis.html (2015), online May 26, 2015.
- 3- **V. Patankar**, "What a dairy farmer can teach Shaq about free throws," www.process.st/how-to-shoot-a-free-throw, online January 8, 2016.
- 4- **H. Okubo and M. Hubbard**, J. Sports Sci. 24, 1303 (2006).
- 5- **H. Okubo and M. Hubbard**, Procedia Engineering 2, 3281 (2010).
- 6- **D. Tang**, G. Ma, and J. Guo, Inform. Technol. J. 12, 3315 (2013).
- 7- **P. J. Brancazio**, Amer. J. Phys. 49, 356 (1981).
- 8- **J. M. Gablonsky and A. S. I. D. Lang**, SIAM Rev. 47,775 (2005).
- 9- **J. J. Fontanella**, The physics of basketball (The John Hopkins University Press, Baltimore, 2006).

- 10-** **M. Beuoy**, \Introducing ShArc: Shot arc analysis,"
[www.inpredictable.com/2015/05/
introducing-sharc-shot-arcanalysis.html](http://www.inpredictable.com/2015/05/introducing-sharc-shot-arcanalysis.html),
online May 26, 2015.
- 11-** **Three-point line:** Basketball. Britannica Online for
Kids," [kids.britannica.com/comptons/art-
188763](http://kids.britannica.com/comptons/article-188763) (2014), accessed December 16,
2016.
- 12-** **MATLAB R2016b**, The MathWorks, Inc., Natick,
Mas- sachusetts, United States," (2016).
- 13-** **B. N. Schwark**, S. J. Mackenzie, and E. J. Sprigings,
J. Appl. Biomech. 20, 153 (2004).
- 14-** **L. M. Silverberg**, C. M. Tran, and T. M. Adams,
Optimal release conditions for the free throw
in men's basketball CM Tran, LM Silverberg
Journal of sports sciences 26 (11), 1147-
1155
- 15-** **Irina Barzykina**, The physics of an optimal
basketball free throw Southbank
International School, 63-65 Portland Place,
London W1B 1QR, UK Dated: February 24,
2017
- 16-** **Ceranic, B., Fryer, C., and Baines, R. W.** "An
application of simulated annealing to the

- optimum design of reinforced concrete retaining structures.” Computers and Structures, 79(17), 1569–1581 (2001).
- 17- Cunha, M.** “On solving aquifer management problems with simulated annealing algorithms.” Water Resources Management, 13(3), 153–170 (1999).
- 18- Cunha, M. and Sousa, J.** “Water distribution network design optimization: Simulated annealing approach.” Journal of Water Resources Management, 125(4), 215–221(1999).
- 19- Dolan, W. B., Cummings, P. T., and LeVan, M. N.** “Process optimization via simulated annealing: Application to network design.” AIChE Journal, 35(5), 725–736(1989).
- 20- Wolfgang** Introduction to artificial intelligence’ Ertel British library 2nd Edition.2017
- 21- Han-Chung Hung,”** A study on artificial intelligence forecasting of resort demand” Journal of Theoretical and Applied Information Technology.289095552.